

**20269**

**ARRABALDE**

**269/12-12**



1212 IB CE 10

Anticlinal vergente en las cuarcitas del Arenig  
 $O_{12}^2$  de  $F=4$  con el eje cabeceando al SE. En pri  
mer término coluvión  $Q_2\varepsilon$  y relleno de Valle  $Q_2\text{Ca}$



1212 IB CE 165

Detalle de dolomías cámbricas CA<sub>1</sub>p



1212 IB CE 166

Aspecto de un afloramiento de las dolomías  
cámbricas CA<sub>1</sub>P



1212 BI CE 167

Pliegues de F V que afectan a las pizarras del  
ordovicico medio-superior vergentes al SO  $0^{\circ} 2-3$



1212 IB CE 168

Detalle de pliegues en el contacto ordovícico  
Inferior-Medio Superior  $\text{O}_{12}^2$  y  $\text{O}_{2-3}$ )



1212 IB CE 169

Pliegue sinclinal de fase III de las moscovitas  
del Arenig o<sup>2</sup>

1212 IB CE 175

Detalle del "ollo de sapo" de facies de megacristales P<sub>c</sub>-CA<sub>5</sub>





1212 IB CE 176

Detalle de pliegues en el Ordovícico Inferior.  
Se puede observar el distinto estilo según la  
naturaleza del material O<sub>12</sub><sup>2</sup>



1212 IB CE 177

Terminación geosinclinal de un pliegue con cabe-  
ceo del eje al NO γ



1212IB CE 178

Pliegue de F-2 con la esquistosidad principal  
oblicua a un plano axial.

1212 IB CE 27

Estratificación cruzada en las cuarcitas del

Arenig 02  
12





1212 IB CE 9

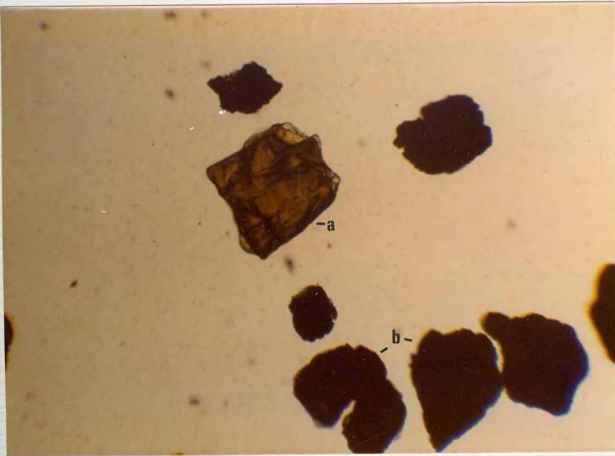
Terminación sinclinal muy afectada de F en  
las cuarcitas del Arenig  $O_{12}^2$ . Al fondo depre-  
sión recubierta por sedimentos neógenos y -  
cuaternarios.



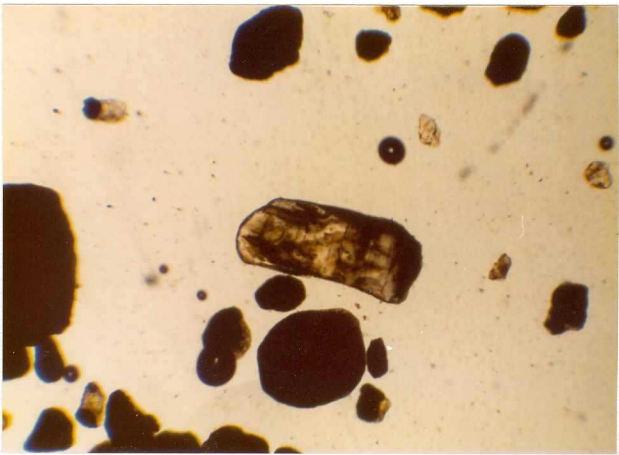
12-12-IB-MA-1033.- Fragmentos de roca. (L.R). 10 oc. x  
5 ob.



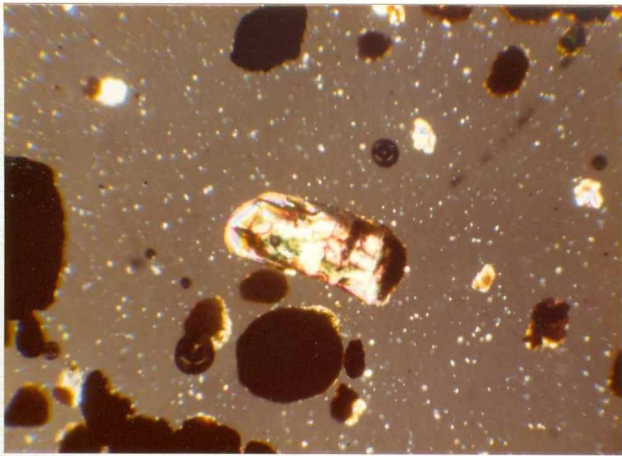
12-12-IB-MA-1034.- a) Fragmentos de roca. b) Ilmenita. -  
(L.R.). 10 oc. x 5 ob.



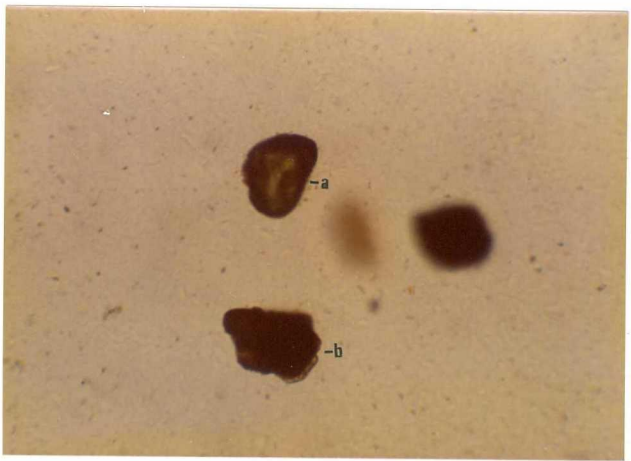
12-12-IB-MA-1070.- a) Turmalina parda. b) Opacos. (L.N.).  
10 oc. x 5 ob.



12-12-IB-MA-1146.- Andalucita con inclusiones opacas. (L.  
N). 10 oc. x 5 ob.



12-12-IB-MA-1146.- La misma Andalucita anterior con luz po  
larizada (L.P.). 10 oc. x 5 ob.



12-12-IB-MA-1146.- a) Circón. b) Opacos. (L.N.). 10 oc.  
x 10 ob.



1212 IB MA 1151

Aspecto de la terraza  $\Omega_1 T_3$  y  $\Omega_1 T_4$  a partir del desnivel de donde terminan las excavaciones de las terrazas.



1212 IB MA 1152

Aspecto morfológico de la terraza Q<sub>1</sub>T<sub>3</sub>.



1212 IB MA 1153

Aspecto del terciario  $T_{C11-C12}^{Bc-Bc}$ <sup>1</sup> con estratificación cruzada con intercalaciones lentejonares conglomerasticas y terraza  $Q_1 T_5$



1212 IB MA 1154

Intercalaciones detriticas conglomerásticas  
suprayacentes de un nivel arcilloso en el  
terciario, T<sup>Bc-Bc1</sup>  
C11-C12



1212 IB MA 1155

Estratificación cruzada y gradada en la terra  
za Q<sub>1</sub> T<sub>5</sub>



1212 IB MA 1156

Detalle de la anterior fotografía 1155



1212 IB MA 1157

Detalle de la terraza  $Q_1 T_5$ , donde se observan intercalaciones conglomeraticas correspondientes a depósitos fluviales.



1212 IB MA 1158

Terraza Q<sub>1</sub>T<sub>7</sub> y al fondo la terraza Q<sub>1</sub>T<sub>5</sub>



1212 IB MA 1159

Aspecto del aluvial QAE y la terraza  $Q_1 T_5$   
formando la masa continua y al fondo el  
relieve paleozoico



1212 IB MA 1160

Valle del arroyo del Regato sobre el nivel de  
terraza  $Q_1 T_8$ . Al fondo la roca formada por el  
nivel  $Q_1 T_5$



1212 IB MA 1161

Al fondo nivel de terraza  $Q_1 T_2$  y en primer  
plano el nivel  $Q_1 T_8$